

白木香 3-羟基-3-甲基戊二酰辅酶 A 合酶(*AsHMGS*)基因的克隆与表达分析

刘娟¹ 徐艳红¹ 杨勇² 梁良³ 高志晖¹ 杨云²
张争^{1,2} 隋春¹ 魏建和^{1,2*}

(1. 中国医学科学院 & 北京协和医学院 药用植物研究所 北京 100193 ;2. 中国医学科学院 & 北京协和医学院 药用植物研究所海南分所 海南省南药资源保护与开发重点实验室 万宁 571533 ;3. 山东中医药大学 济南 250355)

摘要 以白木香(*Aquilaria sinensis*(Lour.) Gilg)茎 cDNA 为模板,采用反转录 PCR 及 RACE 技术分离得到 *HMGS* 基因 cDNA 全长。序列分析表明该基因序列全长 1 831 bp,共编码 465 个氨基酸,推导的蛋白质分子量为 51.4 kD,理论等电点 6.25,命名为 *AsHMGS*。推导的 *AsHMGS* 蛋白质序列具有植物 *HMGS* 酶的典型结构,并预测出 *HMGS* 酶的活性中心。系统进化树分析表明,*AsHMGS* 蛋白与拟南芥、琴叶拟南芥、芥菜的相应蛋白相似度最高,其次为人参、喜树和野茶树。荧光定量 PCR 结果显示,茉莉酸甲酯能诱导白木香 *AsHMGS* 的表达。

关键词 白木香 *HMGS* 基因 序列分析 表达分析

中图分类号 Q949.761.1 文献标志码 A doi:10.7525/j.issn.1673-5102.2014.01.011

Cloning and Gene Expression of 3-Hydroxy-3-Methylglutaryl-CoA Synthase Gene(*AsHMGS*) from *Aquilaria sinensis*(Lour.) Gilg

LIU Juan¹ XU Yan-Hong¹ YANG Yong² LIANG Liang³ GAO Zhi-Hui¹ YANG Yun¹
ZHANG Zheng^{1,2} SUI Chun¹ WEI Jian-He^{1,2*}

(1. Institute of Medicinal Plant Development, Chinese Academy of Medical Sciences & Peking Union Medical College, Beijing 100193 ;2. Hainan Branch Institute of Medicinal Plant (Hainan Provincial Key Laboratory of Resources Conservation and Development of Southern Medicine), Chinese Academy of Medical Sciences & Peking Union Medical College, Wanning 571533 ;3. Shandong University of Traditional Chinese Medicine, Jinan 250355)

Abstract Homologous *HMGS* gene cDNA was isolated from the stem of *Aquilaria sinensis*(Lour.) Gilg through reverse transcription polymerase chain reaction (RT-PCR) and rapid amplification of cDNA ends (RACE) technique, and named as *AsHMGS*. The nucleotide sequence of *AsHMGS* gene was 1 831 bp and contained an open reading frame (ORF) of 1 398 bp encoding 465 amino acids with a molecular weight of 51.4 kD, and the theoretical isoelectric point was 6.25. Representative motifs of *AsHMGS* and active site were deduced in the amino acids sequence of *AsHMGS*. The results of phylogenetic analysis suggested that the protein sequence of *AsHMGS* had high similarity to that of *Arabidopsis thaliana*, *Arabidopsis lyrata* subsp. *lyrata*, and *Brassica juncea*, followed by *Camellia sinensis*, *Camptotheca acuminata*, and *Panax ginseng*. The results of real-time PCR showed that the transcription of *AsHMGS* could be induced by methyl jasmonate.

Key words *Aquilaria sinensis* *HMGS* gene sequence analysis gene expression analysis

国产沉香为瑞香科(Thymelaeaceae)植物白木香(*Aquilaria sinensis*(Lour.) Gilg)含树脂的木材,性微温,味辛、苦,归脾、胃、肾经,具有行气止痛、温中止呕、

纳气平喘的功效^[1]。沉香的活性成分主要有两类:倍半萜和色酮类化合物^[2~5]。前者是通过萜类合成途径中的脱氧木酮糖-5-磷酸(1-deoxy-D-xylulose-5-phos-

基金项目:国家自然科学基金项目(81173481,31100220,31000136);北京协和医学院“新兴与交叉学科科研团队”项目(2012N07);2013年创新人才推动计划重点领域创新团队;2013年北京协和医学院研究生创新基金项目(2013-1007-07)

第一作者简介:刘娟(1987—),女,博士研究生,主要从事诱导型药用植物的研究。

* 通信作者 E-mail: wjianh@263.net

收稿日期 2013-08-29

phate pathway, DXP)途径和甲羟戊酸(mevalonic acid pathway, MVA)途径合成。多数研究表明, MVA途径是倍半萜生物合成中C5单位的主要来

源^[6~8]整个过程需要七个关键酶的催化反应(图1)。目前对于白木香MVA途径的关键酶研究仅限于HMGR基因^[9],对其他酶的研究尚未见报道。

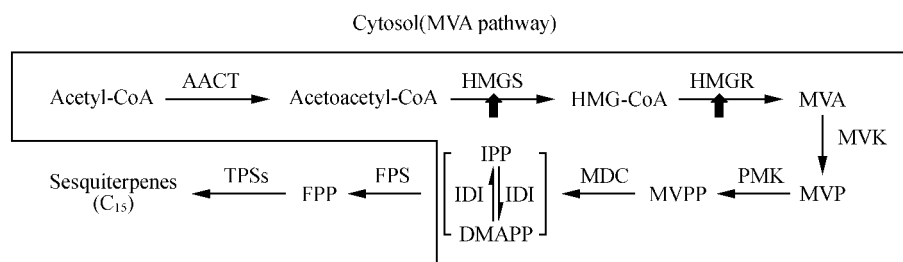


图1 萜类代谢途径中的MVA途径 Acetyl-CoA. 乙酰辅酶A ;AACT. 乙酰乙酰基辅酶A硫解酶 ;Acetoacetyl-CoA. 乙酰乙酰辅酶A ;HMGS. 羟甲基戊二酰辅酶A合酶 ;HMG-CoA. 3-羟基-3-甲基戊二酰辅酶A ;HMGR. 羟甲基戊二酰辅酶A还原酶 ;MVA. 甲羟戊酸 ;MVK. MVA激酶 ;MVP. 甲羟戊酸-5-磷酸 ;PMK. 二氢磷基MVA激酶 ;MVPP. 甲羟戊酸-5-二磷酸 ;MDC. MVA焦磷酸脱羧酶 ;IPP. 异戊二烯焦磷酸 ;DMAPP. 二甲丙烯焦磷酸 ;IDI. IPP异构酶 ;FPS. FPP合酶 ;FPP. 法呢基焦磷酸 ;TPSs. 萜类合酶 (框内为MVA途径)

Fig.1 MVA pathway of terpenoid biosynthesis AACT. Acetoacetyl-CoA thiolase ;HMGS. Hydroxyl methylglutaryl-CoA synthase ;HMG-CoA. 3-Hydroxy-3-methylglutaryl-CoA ;HMGR. Hydroxyl methyl glutaryl-CoA reductase ;MVA. Mevalonate ;MVK. Mevalonate kinase ;MVP. Mevalonate-5-phosphate ;PMK. 5-phosphomevalonate kinase ;MVPP. Mevalonate-5-diphosphate ;MDC. Mevalonate pyrophosphate decarboxylase ;FPP. Farnesyl diphosphate ;FPS. Farnesyl diphosphate synthase ;IDI. Isopentenyl diphosphate isomerase ;IPP. Isopentenyl diphosphate ;MDC. Mevalonate pyrophosphate decarboxylase ;TPS. Terpene synthase (In the box was drew MVA pathway)

3-羟基-3-甲基戊二酰CoA合酶(3-hydroxy-3-methylglutaryl-CoA synthase, HMGS)属于MVA途径中的一个关键酶,可以催化一个乙酰辅酶A与乙酰乙酰辅酶A缩合成3-羟基-3-甲基戊二酰CoA,该化合物可以被3-羟基-3-甲基戊二酰辅酶A还原酶(3-hydroxy-3-methylglutaryl-CoA reductase, HMGR)催化成甲羟戊酸(mevalonic acid),即萜类5碳单位异戊烯基焦磷酸(isopentenyl diphosphate, IPP)的前体^[10~12]。研究表明, HMGS与HMGR可以相互协同共同来调节MVA代谢通路^[13~15]。目前,高等植物中有20余种植物的HMGS全长被克隆,如拟南芥^[16]、樟子松^[17]、巴西橡胶树^[18]、丹参^[19]、茶树^[20]等,仅有少数植物如拟南芥^[16]、丹参^[19]等对其功能和表达进行分析研究。本研究首次克隆了白木香HMGS基因的cDNA全长,也是沉香属植物中首次获得该基因全长,对其序列进行生物信息学分析,并通过荧光定量PCR对该基因与HMGR基因在化学伤害不同时间愈伤组织的表达和积累情况,为白木香萜类次生代谢产物合成机制及沉香形成的解析奠定基础,为沉香属其他植物研究提供借鉴。

1 材料和方法

1.1 材料与试剂

白木香(*Aquilaria sinensis*(Lour.) Gilg)的茎于

2013年2月下旬采自中国医学科学院药用植物研究所的温室,经魏建和研究员鉴定,清洗干净后立即用液氮冷冻,存于-80℃冰箱备用。

EASYspin Plus Plant RNA Kit购于北京艾德莱生物科技有限公司;M-MLV RTase cDNA Synthesis Kit, pMD19-T载体, LA Taq Polymerase, DH 5α感受态, SYBR Premix Ex Taq均购于大连宝生物公司;琼脂糖凝胶回收试剂盒购于北京博迈德生物技术有限公司。本研究所用引物均由上海生工生物工程技术服务有限公司合成。基因测序由上海英捷贸易有限公司完成。

PTC-200型PCR扩增仪(Bio-Rad), NanoDrop 2000核酸/蛋白定量仪(Thermo), 台式高速离心机(Eppendorf), 凝胶成像系统(Bio-Rad), 制冰机(Sanyo), 超低温冰箱(Sanyo), 高压蒸汽灭菌锅(Sanyo)。

1.2 总RNA提取与单链cDNA的合成

取样品在液氮中研磨,根据EASYspin Plus Plant RNA Kit说明书提取总RNA,用1%琼脂糖凝胶电泳确定RNA的完整性,用核酸/蛋白定量仪对RNA进行定量。cDNA的合成按M-MLV RTase cDNA Synthesis Kit说明书进行,合成的cDNA作为下游反应的模板。

1.3 HMGS核心片段的扩增

根据白木香转录组高通量测序结果(由罗氏

公司应用 RNA 测序平台 454 GS FLX Titanium 完成 cDNA 文库测序),由一段已知的 HMGS unigene 序列(未注册)设计两对引物 HMGS-S 5'-TCTAA-CACAGCCAACACTCCTT-3',HMGS-A :5'-TGCCGT-TCCTCGT CTCCTTAA-3',用于 HMGS 核心片段扩增,反应条件为在 0.2 mL 的 PCR 管中加入 0.5 μL 的 LA *Taq*(5 U $\cdot \mu\text{L}^{-1}$) 5 μL 的 10 \times LA PCR 缓冲液(Mg^{2+} Plus) 8 μL 的 dNTP Mixture(各 2.5 mmol $\cdot \text{L}^{-1}$),10 $\mu\text{mol} \cdot \text{L}^{-1}$ 引物各 1.0 μL 2.5 μL 的 cDNA ,ddH₂O 加至 50 μL 。PCR 反应条件为 94℃ 预变性 5 min 94℃ 30 s、55℃ 30 s、72℃ 1 min (35 个循环),72℃ 延伸 10 min。

1.4 3'RACE 及 5'RACE 扩增

根据已克隆到的 HMGS 核心片段,结合《分子克隆实验指南(第三版)》^[21]中 3'RACE 锚定引物序列 3' primer :5'-GCTGTCAACGATACTACGTA-ACG-3',3' Nested primer :5'-CGCTACGTAACG-GCATGACAGTG-3',设计适合于 3'RACE 巢式 PCR 扩增的特异引物 3P1 :5'-GCCCTTCTACGAT-GCGAAGGTTCAACCA-3',3P2 :5'-GAAGTTGAAG-TCCAGGCACGAGTTCCC-3'。

根据已克隆到的 HMGS 核心片段,结合《分子克隆实验指南(第三版)》^[21]中 5'RACE 锚定引物序列 UPM Mix(UMP-L :5'-CTAATACGACTCAC-TATAGGGCAAGCACTGGTATCAACCCAGAGT-3', UMP-S 5'-CTAATACGACTCACTATAGGGC-3' 以 1 :5 混合), NUP : 5'-AAGCAGTGGTATCAACG-CAGAGT-3' 设计适合于 5'RACE 巢式 PCR 扩增的特异引物 5P1 5'-GGCTTCCTCGAATTGCTTTCA-3' 5P2 5'-GTCAGTGTCCCCGTATTCTCAAA-3'。

反应条件为在 0.2 mL 的 PCR 管中加入 0.5 μL 的 LA *Taq*(5 U $\cdot \mu\text{L}^{-1}$) 5 μL 的 10 \times LA PCR 缓冲液(Mg^{2+} Plus) 8 μL 的 dNTP Mixture(各 2.5 mmol $\cdot \text{L}^{-1}$),10 $\mu\text{mol} \cdot \text{L}^{-1}$ 引物各 1.0 μL 2.5 μL 的 cDNA ,ddH₂O 加至 50 μL 。PCR 反应条件为 94℃ 预变性 5 min 94℃ 30 s、61℃ 30 s、72℃ 3 min (40 个循环),72℃ 延伸 10 min。

1.5 白木香 HMGS 基因编码区 PCR 扩增

根据获得的 HMGS 的 3' 端序列、5' 端序列和中间保守区序列拼接结果设计引物:ORF-S 5'-CGT-TGCCGTTCCCTCGTCTCCTT-3';ORF-A :5'-TCCGAT-GCCTGCTCAACTACTT-3'。在 0.2 mL 的 PCR 管中加入 0.5 μL 的 LA *Taq*(5 U $\cdot \mu\text{L}^{-1}$) 5 μL 的 10 \times LA PCR 缓冲液(Mg^{2+} Plus) 8 μL 的 dNTP Mixture

(各 2.5 mmol $\cdot \text{L}^{-1}$),10 $\mu\text{mol} \cdot \text{L}^{-1}$ 引物各 1.0 μL 2.5 μL 的 cDNA ,ddH₂O 加至 50 μL ,进行 PCR 反应,条件为 94℃ 预变性 5 min 94℃ 30 s、57℃ 30 s、72℃ 3 min(40 个循环),72℃ 10 min。

1.6 PCR 反应纯化及克隆测序

按琼脂糖凝胶回收试剂盒回收目的片段,连接到 pMD19T 载体,转化 DH5 α 感受态细胞,加入不含抗生素的 LB 培养基振荡培养 45 min,使菌体复苏。吸取 100 μL 已转化的感受态细胞,均匀涂布于含有 100 mg $\cdot \text{L}^{-1}$ 氨苄青霉素的 LB 固体培养基上,37℃ 恒温过夜培养,挑取白斑单菌落,接种于含有 100 mg $\cdot \text{L}^{-1}$ 氨苄青霉素的 LB 液体培养基中,37℃ 320 r $\cdot \text{min}^{-1}$ 振荡培养 10 h。菌液 PCR 鉴定为阳性的克隆送测序。

1.7 白木香 HMGS 基因 cDNA 序列的生物信息学分析

采用生物信息学方法对白木香 HMGS 基因的核苷酸及氨基酸序列进行分析,对其信号肽、跨膜拓扑结构域、疏水性/亲水性、蛋白二级和三级结构等进行预测和推断。利用 NCBI BLAST 程序对核酸及氨基酸序列进行相似性检索,用 ORF Finder 程序查找基因 HMGS 开放阅读框架,蛋白质信号肽的预测、跨膜结构及亲水性/疏水性的分析利用在线工具 SignalIP 4.1 Server(<http://www.cbs.dtu.dk/services/SignalIP/>),Prot Scale(<http://web.expasy.org/protscal/>),TMHMM Server v. 2.0(<http://www.cbs.dtu.dk/services/TMHMM/>)完成;蛋白质二级结构、三级结构的预测利用 SOPMA(http://npsa-pbil.ibcp.fr/cgi-bin/npsa_automat.pl)和 CPH-models-3.2 Server(<http://www.cbs.dtu.dk/services/CPHmodels/>)在线工具完成;利用 DNAStar 和 DNAMAN 软件对序列进行分析比对,并用 MEGA5.0 软件对序列进行系统进化树分析。

1.8 白木香 HMGS 与 HMGR 基因的表达分析

白木香的愈伤组织用浓度为 100 $\mu\text{mol} \cdot \text{L}^{-1}$ 的茉莉酸甲酯(MeJA)进行喷洒处理,利用实时荧光定量 PCR(Real-time PCR qRT-PCR)的方法检测白木香愈伤组织中 HMGS 和 HMGR 基因在不同伤害处理时间(未处理 CK 2 h 4 h 6 h 8 h,12 h 24 h 2 d)的表达情况。选取白木香 GADPH 为内参基因^[22],引物序列见表 1。每个样品设 3 个重复。反应体系为 12.5 μL SYBR Premix Ex *Taq* 酶,上下游引物(10 $\mu\text{mol} \cdot \text{L}^{-1}$)各 0.5 μL 模板(50 mg $\cdot \text{L}^{-1}$),2 μL ddH₂O 9.5 μL ,总体积 25 μL 。反应程序:

95℃预变性3 min, 95℃变性5 s, 55℃退火30 s, 72℃延伸30 s(每次循环后采集荧光信号)40个循环。95℃变性10 s, 65~95℃做熔解曲线分析, 每个

温度以每步0.5℃上升, 每个温度停留5 s。数据通过Excel进行分析, 获得白木香HMGS与HMGR基因(GenBank注册号JQ990217.1)的相对表达量。

表1 荧光定量PCR设计与使用的引物

Table 1 Primers designed and used in real-time PCR

正向引物 Forward primer	序列 Sequence(5'-3')	反向引物 Reverse primer	序列 Sequence(5'-3')
GADPH-F	CTGGTATGGCATTCCGTGTA	GADPH-R	AACCACATCCTCTTCGGTGTA
HMGS-F	GTTGAAGTCCAGGCACGAGTTCC	HMGS-R	CCGTTGTCACAGGCAGTGTCTC
HMGR-F	CGTTCTATTGAGAGATGGGATGAC	HMGR-R	ATGGCATCACCAAGTGCCTACAAG

2 结果与分析

2.1 白木香HMGS基因cDNA全长的克隆

利用引物HMGS-S/A在单链cDNA模板扩增出1条长为1 000 bp的特异条带(图2:I第3泳道), 通过BLAST程序检索, 该扩增片段与毛果杨(*Populus trichocarpa*, Accession No.: XM_002304422.1, XM_002304423.1)、二穗短柄草(*Linum usitatissimum*, Accession NO.: FJ461258.1)的HMGS核苷酸序列同源性达到80%以上, 确定该片段为白木香HMGS基因片段。据此段序列分别设计用于基因3'-RACE和5'-RACE序列扩增的特异引物, 通过PCR扩增分别得到1条约500 bp和1条约500 bp的条带(图2:II, III)。3条基因片段序列拼接后得到1条长1 831 bp的基因序列, 该序列与巴西橡胶树(*Hevea brasiliensis*, Accession No.: AF429389.1, AF396829.1)、毛果杨(*Populus trichocarpa*, Accession No.: XM_002304422.1, XM_002298040.1)、蓖麻(*Ricinus communis*, Accession No.: XM_002509646.1)、茶树(*Camellia sinensis*, Accession No.: JQ390224.1)、人

(*Panax ginseng*, Accession No.: GU565098.1)的HMGS相似性分别为82%、82%、82%、81%、80%。通过NCBI中ORF finder工具查找到该序列包含一个长1 398 bp的开放阅读框, 共编码465个氨基酸, 编码序列与蓖麻(*Ricinus communis*, Accession No.: XP_002509692.1)、巴西橡胶树(*Hevea brasiliensis*, Accession No.: BAF98279.1, AAL18930.1)、大豆(*Glycine max*, Accession No.: XP_003549866.1)、茶树(*Camellia sinensis*, Accession No.: AFC34137.1)、罗汉果(*Siraitia grosvenorii*, Accession No.: AEM42970.1)HMGS全长基因序列相似性分别为87%、86%、86%、85%、85%。此外还有157 bp的5'非编码区、276 bp的3'端非编码区, 且在3'端非编码区存在20个碱基组成的polyA尾(图3)。为了验证拼接序列的正确性, 根据拼接好的序列设计引物对白木香的HMGS编码区进行扩增, 得到一条约1 800 bp左右的特异条带, 序列测定结果与拼接结果序列一致。因此可确定该序列为白木香HMGS基因的cDNA全长序列, 将其命名为AsHMGS(GenBank注册号KJ134541)。

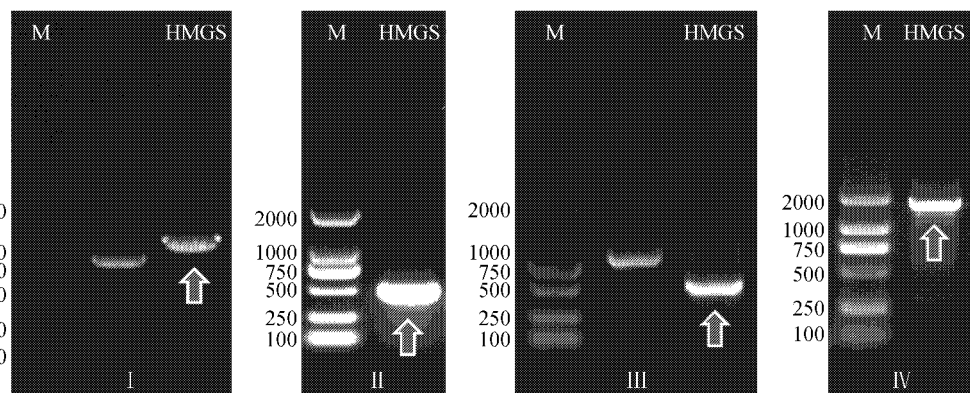


图2 AsHMGS基因RT-PCR扩增的琼脂糖凝胶电泳图
HMGS编码区扩增(箭头标注为HMGS基因)

Fig. 2 Agarose gel electrophoresis of RT-PCR amplification of AsHMGS I. Core fragment; II. 3' end fragment; III. 5' end fragment; IV. AsHMGS-full sequence

1 GATGTAAGTCACGCCATTGCTCTCGCTCTCCATTGATTCAGATCATAACTT
61 GGCTGTGAGTTGAGAGAGAGAATCGGAACCGCCTTGTGATCGTTATTCTCGTAGTCGT
121 TGCCGTTCCCTCGTCCTTGCTGGGTCTTTAGAA
158 ATGGCTAAGAATGTTGAAATTCTCGCGTCGATATCTACTTCCCTCCACCTTGTAAAG
1 M A K N V G I L A V D I Y F P P T F V K
218 CAGGAAGCACTTGAGGCTCATGATGGTGTAAAGCAAAGGGAAATACACGATTGGACTTGGC
21 Q E A L E A H D G V S K G K Y T I G L G
278 CAAGATGCTTGGGATTTGTACAGAGTTGAAAGATGTTGTCATGAGTTGAATGTT
41 Q D C L G F C T E L E D V V S M S L N V
338 GTGACTTCACTCCTGACAAATACAAGGTGACCTAAAGCAAATCGGTCGTCTGAAGTG
61 V T S L L D K Y K V D P K Q I G R L E V
398 GGCAGTGAACACTGTGATAGACAAGAGCAAATCCATTAAAGACCTTCCTGATGCAAATCTT
81 G S E T V I D K S K S I K T F L M Q I F
458 GAGAAAATACGGGAACACTGACATTGAGGGAGTTGACTCAACCAATGCTTGCTATGGAGGG
101 E K Y G N T D I E G V D S T N A Y G G
518 ACTGCAGCACTATGCAACTGTGTCACTGGGTGAAAGTAGTTCATGGATGGACGATAT
121 T A A L C N C V N W V E S S S W D G R Y
578 GGTCTTGTGCGTGCAGTGACAGTGCCTTATGCAGAAGGGCCTGCCGTCTACTGGG
141 G L V V C T D S A V Y A E G P A R P T G
358 GGAGCAGCTCGATAAGCATTGCTTATTGGACCTGATGCCCTATTACTTTGAAGCAA
161 G A A A I A L L I G P D A P I T F E S K
698 ATTGAGGAAGCCATATGCCCATGCCTATGACTTCTACAAGCCAACCTGGCAGTGAA
181 J R G S H M A H A Y D F Y K P N L A S E
758 TATCCGGTTGTTGATGGAAAACTCTCACAAACGTGCTACCTCATGGCTCTGACTTGTG
201 Y P V V D G K L S Q T C Y L M A L D L C
818 TACAAACATCTCTGAAAAGTAGAGAAACTTGAAGGTAAAAGTCTCCGTGCTGAT
221 Y K H L S E K Y E K L I E G K K F S V S D
878 GTCGACTACTTGTGTTCACTCTCCATATAACAAGCTCGTACAGAAAAGCTTGGCCGT
241 V D Y F V F H S P Y N K L V Q K S F A R
938 TTGTTGTTCAATGACTCTTAAGGAATGCCAGTTATGATGAAGCTGCCAGGAAAAG
261 L L F N D F L R N A S Y I D E A A K E K
998 CTGGCTGCATTCTCAAACCTTAAGCTAGCGATGAAAGCTACCAAAAGTCGTGACCTTGAGAAG
281 L A A F S N L T S D E S Y Q S R D L E K
1058 GCATCTCAACAAGTTGCAAAGCCCTCTACGATGCGAAGGTTCAACCAACCACCTTGATA
301 A S Q Q V A K P F Y D A K V Q P T T L I
1118 CCAAAGCTAGTTGAAACATGTACACTGCATCTGTATGCTGCATTGATCCTTGCTT
321 P K L V G N M Y T A S L Y A A F A S L L
1178 CACAACAAACATAGTGAAGTGTCAAGGAAAGCGGGTGTCTTGTATGGAAAGTGGT
341 H N K H S E L S G K R V I L F S Y G S G
1238 CTGACTTCCACGATTTCGTTACAATTGCATGAAGGTCAACACCCCTTAGCCTGTC
361 L T S T M F S L Q L H E G Q H P F S L S
1298 AACATTGCAACAGTAATGAATGTCAGGAAAGCGGGTGTCTTGTATGGAAAGTGGT
381 N I A T V M N V S G K L K S R H E F P P
1358 GAGAAATTGTCGAAACTATGAAGCTCATGGAGCATAGATACTGGGGCCAAGGACTTCC
401 E K F V E T M K L M E H R Y G A K D F L
1418 ACAAGCAAAGACACCAGCCTTGGCTCCAGGAACACACTTCCCTGACCGAGGTGGACTCC
421 T S K D T S L L A P G T H F L T E V D S
1478 ATGTACAGGAGATTCTATGCTAAGAAGGGTGAGGAGAACACTGCCTGTGACAAACGGAGCG
441 M Y R R F Y A K K G E E N T A C D N G A
1538 GTTGCACCGCCACTGA
461 Y A N G H *
1556 TTGGGGAAAAGAAACAGCCGTTCATATGAAAGGAGTGTGGCTGTGTTAGATGATGTTG
1616 CCAGATCAAGATATACGCCGTTGTTAGTATGTTGCTTATCTTTAAAGTAGTTGAGC
1676 AGGCATCGGATGCTGCGGATTATTCCTTCTTCGCAATAATTGTAATCAAT
1736 TCTTGTCCAGGTAGACATTGAACATGTGATGAAACCAAACTGCAGTGCCCCAAGCATGA
1796 AACTGCTTCGTGGTAAAAAAAAAAAAAA

图3 白木香 AsHMGS 全长 cDNA 序列及推导的 HMGS 氨基酸序列 — 表示 HMGS 预测蛋白的 N 端 ~~~ 表示 HMGS 预测蛋白的 C 端；■ 表示 HMGS 蛋白的活性中心；■ 表示活性中心的关键氨基酸残基

Fig. 3 cDNA sequence and deduced amino acid sequence of *AsHMGS* — N terminal of AsHMGS ; ~~~ C terminal of AsHMGS ;

Ac

■ Key amino acid residue of AsHMGS

2.2 白木香 HMGS 蛋白质序列分析

2.2.1 理化性质

使用 ExPaSy ProtParam 程序预测 *AsHMGS* 编码蛋白的分子量为 51.4 kD, 分子式为 $C_{2306}H_{3568}N_{596}O_{696}S_{20}$, 理论等电点为 6.25, 蛋白不稳定系数为 33.84, 属于稳定蛋白质。白木香 *HMGS* 基因编码的蛋白质共有 20 种氨基酸, 其中含量最高的是 Leu, 为 9.7%; Ser、Ala、Lys、Gly 也较多, 分别为 9.0%、8.4%、8.0%、6.9%; 而含量最低的是 Try, 只有 0.4%。使用 NCBI 的 Conserved Domains 数据库对序列进行分析, 发现从氨基酸残基的第 4 个位点到第 159 个位点为 *HMGS* 蛋白的 N 端, 第 177 个位点到 449 位点处为 *HMGS* 蛋白的 C 端(图 3)。由 Prosite 在线软件分析, 显示白木香 *HMGS* 基因翻译的蛋白质在第 105~120 位点处是 *HMGS* 酶的活性中心, 其中 117 位的 C 氨基酸残基就是 *HMGS* 酶的活性中心最关键的氨基酸残基(图 3)。

2.2.2 白木香 HMGS 蛋白信号肽及跨膜结构预测分析

运用 SignalP 4.1 Server 对白木香 *HMGS* 氨基酸序列的信号肽进行预测, 第 22 号氨基酸残基具有最高的原始剪切位点分值 0.135, 第 19 号氨基酸残基具有最高的信号肽分值 0.327, 第 22 号氨基酸残基具有最高的综合剪切位点分值 0.150。由此可见, 白木香 *HMGS* 不存在信号肽酶切位点, 不具有信号肽, 与其他植物的 *HMGS* 蛋白预测结果一致。萜类代谢的 MVA 途径存在于细胞质中, 可以推断, 白木香的 *HMGS* 酶在细胞质中合成后, 不进行蛋白转运, 保留在细胞质基质中, 直接与代谢底物作用, 参与萜类代谢合成。

利用 TMHMM Server. v. 2.0 对白木香 *HMGS*

氨基酸序列的跨膜结构域进行预测, 结果显示, 整条肽链不存在跨膜结构域, 这与其他植物的 *HMGS* 蛋白预测结果一致。结合亚细胞定位预测软件分析, 白木香的 *HMGS* 蛋白主要存在于细胞质。因此可推断, 白木香 *HMGS* 蛋白主要在细胞质中合成, 不进行跨膜运转, 保留在细胞质基质中行使催化功能。

2.2.3 白木香 HMGS 蛋白亲水性/疏水性分析

运用 Prot Scale 软件对白木香 *HMGS* 氨基酸序列的疏水性/亲水性进行预测, 结果显示, 多肽链 293 位为亲水性最强的位点, 分值为 -2.467, 多肽链 165 与 166 疏水性最强, 分值为 2.600。整个多肽链中疏水性氨基酸只含 37.9%, 整个蛋白表现为亲水性, 表明该基因编码的蛋白为亲水性蛋白。

2.2.4 白木香 HMGS 蛋白二级结构、三级结构的预测

蛋白质高级结构的预测和分析可以较好了解结构与功能的相关性。用 SOPMA 对白木香 *HMGS* 氨基酸序列的二维结构进行预测, 结果如图 4 所示, 白木香 *HMGS* 由 43.44% 的 α -螺旋, 15.48% 的延伸链, 5.59% 的 β 折叠和 35.48% 的不规则卷曲组成。 α -螺旋是白木香 *HMGS* 中最多的结构元件, 以不规则卷曲散布于整个蛋白质中。

运用 CPHmodels-3.2 Server 在线软件对 *AsHMGS* 氨基酸序列进行蛋白质三维结构同源性建模分析, 结果图 5 所示, 在 *AsHMGS* 蛋白三维模型中可以直观显示出其 N 端结构域、C 端结构域和 11 个主要的 α -螺旋二级结构域的立体结构组成。整体蛋白呈一个椭球形, 在 N 端与 C 端中部形成一个结构较为疏松的地带, 与一级结构预测的活性中心比较接近。

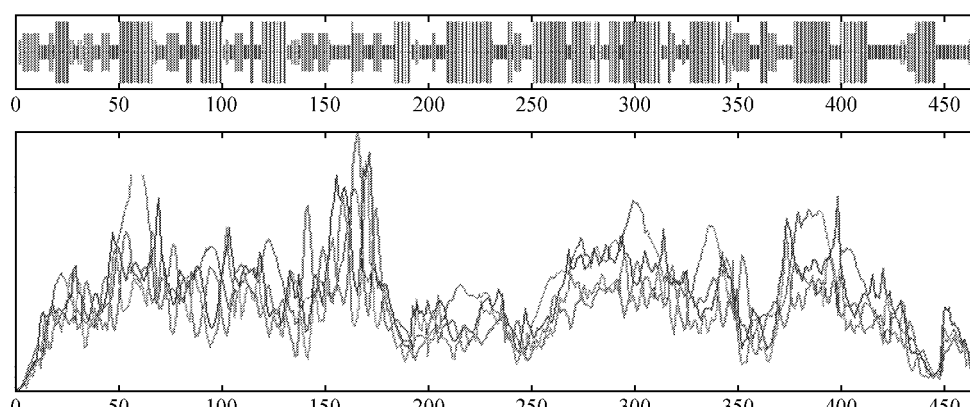


图 4 白木香 *AsHMGS* 蛋白二级结构的预测 α -螺旋(蓝线)、延伸链(红线)、 β -转角(绿线)、不规则盘绕(黄线)

Fig. 4 Deduced secondary structure of *AsHMGS* protein
Helix. Blue line; Extended strand. Red line; Beta turn. Green line; Random Coil. Yellow line

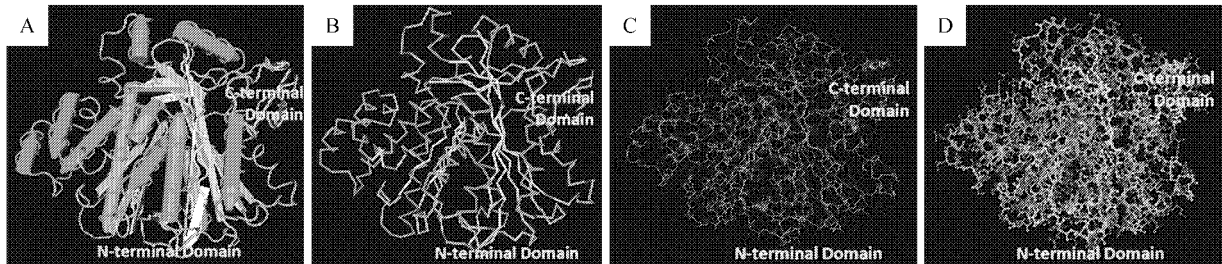


图 5 白木香 AsHMGS 蛋白三级结构的预测 A. Worms 型图 ;B. Tubes 型图 ;C. Wire 型图 ;D. Ball and Stick 型图

Fig. 5 Deduced three-dimensional structure of AsHMGS protein A. Worms ;B. Tubes ;C. Wire ;D. Ball and Stick

白木香 <i>Aquilaria sinensis</i>	MAKNVGILANDIYFPPPTCQKQEALEAHGDVSKGKYTIGLGGQDCLGFCTELEDVVSMSLNVISLDKYWDPKQIGRLEV	80
芥菜 <i>Brassica juncea</i> , AAG32923.1	MAENVGILANDIYFPPPTCQKQEALEAHGDASKGKYTIGLGGQDCLAFCTELEDVVSMSFNAVISLDKYKIDPMQIGRLEV	80
大豆 <i>Glycine max</i> , XP_003549866.1	MAKNVGILANDIYFPPPTCQKQEALEAHGDASKGKYTIGLGGQDCLAFCTELEDVVSMSLTWVSSLEEKYADPKQIGRLEV	80
巴西橡胶树 <i>Hevea brasiliensis</i> , BAF98279.1	MAKNVGILANDIYFPPPTCQKQEALEAHGDASKGKYTIGLGGQDCLAFCTELEDVVSMSLTAVISLEEKYNDPNQIGRLEV	80
拟南芥 <i>Arabidopsis thaliana</i> , AEE83053.1	MAKNVGILANDIYFPPPTCQKQEALEAHGDASKGKYTIGLGGQDCLAFCTELEDVVSMSFNAVISLEEKYNDPNQIGRLEV	80
蓖麻 <i>Ricinus communis</i> , XP_002509692.1	MAKNVGILANDIYFPPPTCQKQEALEAHGDASKGKYTIGLGGQDCLAFCTELEDVVSMSLTAVISLEEKYNDPNQIGRLEV	80
Consensus	ma nvgila diyfppt qe leahdg skgkytiglgdc fete edv sms v sl y dp qigrlev	
白木香 <i>Aquilaria sinensis</i>	GSETVIDKS SIKTFIMQLF EK GNTD IEGVDS INACYGG TAA L C I V S I G C S SWDGR YGLV CTDS AVYAEGP RTG	160
芥菜 <i>Brassica juncea</i> , AAG32923.1	GSETVIDKS SIKTFIMQLF EK GNTD IEGVDS INACYGG TAA L C I V S I G C S SWDGR YGLV CTDS AVYAEGP RTG	160
大豆 <i>Glycine max</i> , XP_003549866.1	GSETVIDKS SIKTFIMQLF EK GNTD IEGVDS INACYGG TAA L C I V S I G C S SWDGR YGLV CTDS AVYAEGP RTG	160
巴西橡胶树 <i>Hevea brasiliensis</i> , BAF98279.1	GSETVIDKS SIKTFIMQLF EK GNTD IEGVDS INACYGG TAA L C I V S I G C S SWDGR YGLV CTDS AVYAEGP RTG	160
拟南芥 <i>Arabidopsis thaliana</i> , AEE83053.1	GSETVIDKS SIKTFIMQLF EK GNTD IEGVDS INACYGG TAA L C I V S I G C S SWDGR YGLV CTDS AVYAEGP RTG	160
蓖麻 <i>Ricinus communis</i> , XP_002509692.1	GSETVIDKS SIKTFIMQLF EK GNTD IEGVDS INACYGG TAA L C I V S I G C S SWDGR YGLV CTDS AVYAEGP RTG	160
Consensus	g setvidks siktf mq fek gntd egvds nacygg taal v s swdgr yglv ctds avyae gp rtg	
白木香 <i>Aquilaria sinensis</i>	GAAA I ALI LGPDAP IT FESKLRGSHMAHYDFYKPNLASEYPVVDGKL SQT CYL M ALD S CYK H RL SE K Y E K I E G K F S Y S D	240
芥菜 <i>Brassica juncea</i> , AAG32923.1	GAAA I ALI LGPDAP IT FESKLRGSHMAHYDFYKPNLASEYPVVDGKL SQT CYL M ALD S CYK H RL SE K Y E K I E G K F S Y S D	240
大豆 <i>Glycine max</i> , XP_003549866.1	GAAA I ALI LGPDAP IT FESKLRGSHMAHYDFYKPNLASEYPVVDGKL SQT CYL M ALD S CYK H RL SE K Y E K I E G K F S Y S D	240
巴西橡胶树 <i>Hevea brasiliensis</i> , BAF98279.1	GAAA I ALI LGPDAP IT FESKLRGSHMAHYDFYKPNLASEYPVVDGKL SQT CYL M ALD S CYK H RL SE K Y E K I E G K F S Y S D	240
拟南芥 <i>Arabidopsis thaliana</i> , AEE83053.1	GAAA I ALI LGPDAP IT FESKLRGSHMAHYDFYKPNLASEYPVVDGKL SQT CYL M ALD S CYK H RL SE K Y E K I E G K F S Y S D	240
蓖麻 <i>Ricinus communis</i> , XP_002509692.1	GAAA I ALI LGPDAP IT FESKLRGSHMAHYDFYKPNLASEYPVVDGKL SQT CYL M ALD S CYK H RL SE K Y E K I E G K F S Y S D	240
Consensus	gaaa a l i g p api fesk r sh m h y dfykpnla seypvvdgklsqtcylmald cy h k ek egk fs d	
白木香 <i>Aquilaria sinensis</i>	VDYIYVFHSPYNLKVOKS FARLLVNDFLRNASS DEAAKEK LAA SNLTDSESY QSRDL EKA SQQVAKP YDAK VQP TTL	320
芥菜 <i>Brassica juncea</i> , AAG32923.1	VDYIYVFHSPYNLKVOKS FARLLVNDFLRNASS DEAAKEK LIP S SLSLTDSESY QSRDL EKA SQQVAKP YDAK VQP TTL	320
大豆 <i>Glycine max</i> , XP_003549866.1	AEYIYVFHSPYNLKVOKS FARLLVNDFLRNASS DEAAKEK LEP ATLSLTDSESY QSRDL EKA SQQVAKP YDAK VQP TTL	320
巴西橡胶树 <i>Hevea brasiliensis</i> , BAF98279.1	AEYIYVFHSPYNLKVOKS FARLLVNDFLRNASS DEAAKEK LIP S SLSLTDSESY QSRDL EKA SQQVAKP YDAK VQP TTL	320
拟南芥 <i>Arabidopsis thaliana</i> , AEE83053.1	ADYIYVFHSPYNLKVOKS FARLLVNDFLRNASS DEAAKEK LIP S SLTSLTDSESY QSRDL EKA SQQVAKP YDAK VQP TTL	320
蓖麻 <i>Ricinus communis</i> , XP_002509692.1	AEYIYVFHSPYNLKVOKS FARLLVNDFLRNASS DEAAKEK LIP S STLTDSESY QSRDL EKA SQQVAKP YDAK VQP TTL	320
Consensus	y vfhs pnykl vqks farl ndf nas d a akek l desyq r dle s sqq ak yd kvqpttl	
白木香 <i>Aquilaria sinensis</i>	PKLVGNM YT ASLYAAF SLI HH K NESEI SGK RV L LF SYGSG GLISTTMFSLQLHEGQPFPSL SNIA TATM VNVSKL K SRHEFP P	400
芥菜 <i>Brassica juncea</i> , AAG32923.1	PKLVGNM YT ASLYAAF SLI HH K NSD LAGK RV M SYGSG GLISTTMFSLRLCEKNSPL SNSI A SVMD L GCKLK ARHEYAP	400
大豆 <i>Glycine max</i> , XP_003549866.1	PKQVNGNM YT ASLYAAF SLI HH K NSD LAGK RV M SYGSG GLISTTMFSLRLCEKNSPL SNSI A SVMD L GCKLK ARHEYAP	400
巴西橡胶树 <i>Hevea brasiliensis</i> , BAF98279.1	PKQVNGNM YT ASLYAAF SLI HH K NSD LAGK RV M SYGSG GLISTTMFSLRLCEKNSPL SNSI A SVMD L GCKLK ARHEYAP	400
拟南芥 <i>Arabidopsis thaliana</i> , AEE83053.1	PKEVGNM YT ASLYAAF SLI HH K NSD LAGK RV M SYGSG GLISTTMFSLRLCEKNSPL SNSI A SVMD L GCKLK ARHEYAP	400
蓖麻 <i>Ricinus communis</i> , XP_002509692.1	PKEVGNM YT ASLYAAF SLI HH K NSD LAGK RV M SYGSG GLISTTMFSLRLCEKNSPL SNSI A SVMD L GCKLK ARHEYAP	400
Consensus	pk vgnmyta slyaa f sl h k l gkrv fsygsg t tmfsl l pfs sni m klk rhe p	
白木香 <i>Aquilaria sinensis</i>	EKFVETIMKLMEHRYGA KDFLT SKD . T SLLAPWTHP LIEVD S MYRRFYA QKGEENTACDN AVANG	464
芥菜 <i>Brassica juncea</i> , AAG32923.1	EKFVETIMKLMEHRYGA KDFLT SKD . T SLLAPWTHP LIEVD S MYRRFYA QKGEENTACDN AVANG	460
大豆 <i>Glycine max</i> , XP_003549866.1	EKFVETIMKLMEHRYGA KDFLT SKD . T SLLAPWTHP LIEVD S MYRRFYA QKGEENTACDN AVANG	459
巴西橡胶树 <i>Hevea brasiliensis</i> , BAF98279.1	EKFVETIMKLMEHRYGA KDFLT SKD . CSLLAPWTHP LIEVD S MYRRFYA QKGEENTACDN AVANG	463
拟南芥 <i>Arabidopsis thaliana</i> , AEE83053.1	EKFVETIMKLMEHRYGA KDFLT SKD . CSLLAPWTHP LIEVD S MYRRFYA QKGEENTACDN AVANG	460
蓖麻 <i>Ricinus communis</i> , XP_002509692.1	EKFVETIMKLMEHRYGA KDFLT SKD . CSLLAPWTHP LIEVD S MYRRFYA QKGEENTACDN AVANG	463
Consensus	ekf mklmehryg k f t l p t l evd yrrfy k g g	

图 6 推导的白木香 AsHMGS 蛋白序列与 HMGS 同源蛋白序列的多重比对 红框中所框的氨基酸残基是白木香 HMGS 蛋白的活性中心

Fig. 6 Multi-alignment of amino acid sequences in deduced AsHMGS protein sequence and HMGS homologous protein sequence Active site of AsHMGS was framed by red line

2.3 HMGS 基因编码蛋白的多重比对分析、保守区预测及系统进化树的构建

用 DNAMAN 软件比较了白木香与拟南芥、蓖

麻、芥菜、巴西橡胶树、大豆 HMGS 基因编码的氨基酸序列。从图 6 中可以看出, 白木香 HMGS 蛋白的功能域与其他植物 HMGS 蛋白的功能域有着几乎

一致的氨基酸组成,具有 HMGS 活性所必须的典型的多肽位点,这一结果暗示功能结构域在分子进化中具有较高的稳定性,保守性较强。在 NCBI 的蛋白保守结构域数据库(Conserved Domain Database CDD)中对白木香 HMGS 预测蛋白的保守区分析结果表明与该基因匹配的蛋白是羟甲基戊二酰辅酶 A 合酶(HMGS)整个蛋白基本都属于保守区。

利用 MEGA5 软件中 Clustal W 法对包括白木香在内的 26 个不同物种 HMGS 蛋白序列比对,采用 Neighbor-joining 法构建了系统进化树(图 7)。

发现高等植物、藻类、真菌以及软体动物的 HMGS 蛋白序列在进化上分别属于不同的分类群,其中高等植物与藻类的 HMGS 蛋白序列在进化树上比较接近,而真菌可能与软体动物,而不是植物的 HMGS 蛋白进化上更为接近。白木香的 AsHMGS 蛋白序列与琴叶拟南芥、芥菜的亲缘关系最为接近,其次为人参、喜树和野茶树,在植物界的几个序列中与单子叶植物粗山羊草、乌拉尔图小麦的亲缘关系最远,而与藻类及微生物关系较远,与传统的形态学分类一致。

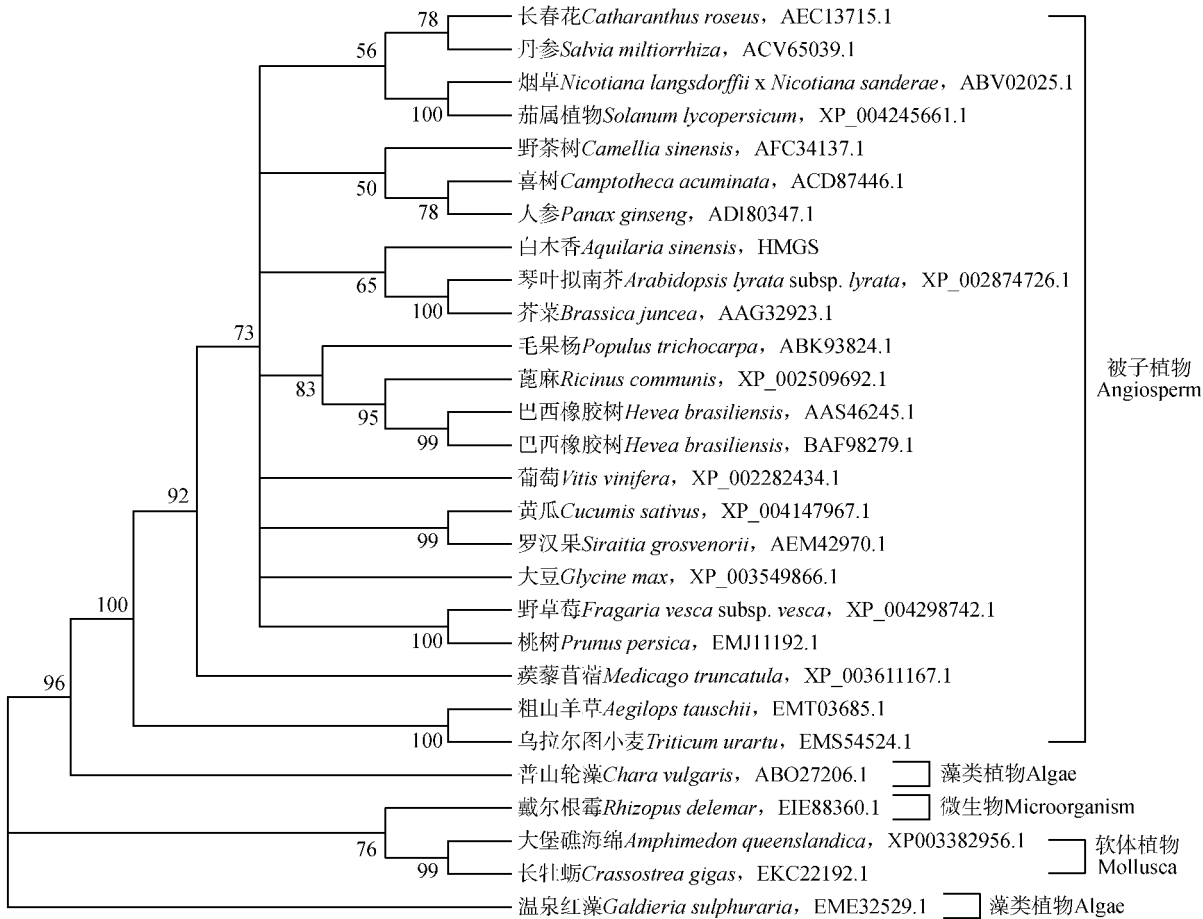


图 7 HMGS 氨基酸序列的系统进化树

Fig. 7 Phylogenetic analysis of HMGS amino acid sequence

2.4 白木香 HMGS 和 HMGR 基因在不同伤害处理时间的表达分析

本研究采用 qRT-PCR 分别检测未处理组 CK 及 $100 \mu\text{mol} \cdot \text{L}^{-1}$ 莱莉酸甲酯伤害处理后(2 h, 4 h, 6 h, 8 h, 12 h, 24 h, 2 d)HMGS 和 HMGR 基因的表达情况,结果显示 HMGS 和 HMGR 基因在新鲜愈伤组织中表达量较低,而在伤害后表达水平显

著升高 HMGS 基因在 6 h 处基因表达量最高,是对照组的 7.63 倍, HMGR 基因在 24 h 处基因表达量最高,是对照组的 4.34 倍(图 8)。从图中可以看出,白木香的 HMGS 比 HMGR 基因更容易被莱莉酸甲酯所诱导,且诱导的趋势类似,暗示白木香 HMGS 和 HMGR 基因可能存在协同调控的作用。

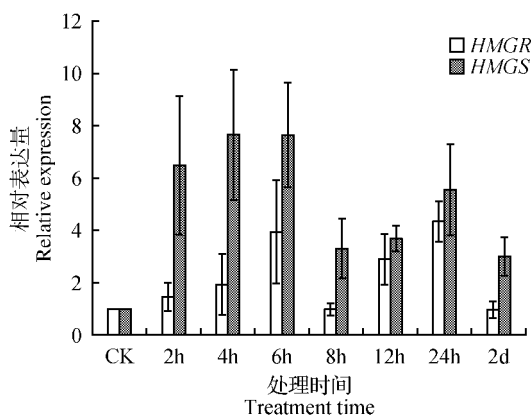


图8 荧光定量 PCR 检测不同伤害处理时间白木香 *HMGS* 和 *HMGR* 基因的表达($n=3$)

Fig. 8 Expression analysis of *HMGS* and *HMGR* of *A. sinensis* in different wound treatment time by qRT-PCR($n=3$)

3 讨论

白木香(*A. sinensis*(Lour.) Gilg)为我国特有的珍稀濒危药用植物,1998年就被列为《濒危野生动植物种国际贸易公约》(CITES)附录Ⅱ^[23]。由于伐树取香,目前野生资源几乎破坏殆尽,为满足国内外市场对优质沉香的需求,本课题组提出白木香防御诱导结香机制假说^[2,24],发明了通体结香技术^[25~26]。课题组已获得 *HMGR*^[9,27]、*DXP*(待发表,注册号:JX860326.1,JX860325.1),*ASS*(注册号:JQ712682.1,JQ712683.1,JQ712684.1)^[24]及*FPS*(注册号:ADH95185)^[24]关键基因,本研究首次克隆获得了白木香 *HMGS* 基因全长并进行了生物信息学分析。结果发现,该基因编码的氨基酸具有典型的 *HMGS* 酶的作用位点、模序及结构域,这些结构是 *HMGS* 行使功能时不可缺少的组成单位,因此说明克隆得到的 *AsHMGS* 基因是高等植物 *HMGS* 基因家族的新成员,其编码蛋白极有可能参与白木香 MVA 萜类合成途径。在与其它植物的 *HMGS* 蛋白的同源性分析和分子进化分析表明,推导的 *AsHMGS* 与拟南芥等十字花科植物的 *HMGS* 蛋白相似度高,拟南芥为传统模式植物,可为后期功能验证及转基因研究提供依据。另外, *HMGR* 基因对甲羟戊酸代谢“碳硫”的调控起重要作用^[28],研究表明白木香的 *HMGR* 基因很可能与沉香的形成有关^[27],而本实验荧光定量 PCR 结果显示 *AsHMGS* 表达受茉莉酸甲酯的诱导,表达趋势与白木香 *HMGR* 基因有一定程度的类似,暗示可能与白

木香 *HMGR* 基因共同协同调控整个 MVA 途径,后期可考虑用酵母双杂交、免疫共沉淀等方法对二者关系进行深入探索。本研究为进一步鉴定 *AsHMGS* 基因在沉香倍半萜合成中的功能及沉香形成机制的探索奠定基础。

参 考 文 献

- 国家药典委员会. 中华人民共和国药典(一部)[S]. 北京:中国医药科技出版社, 2010:172~173.
- 张争, 杨云, 魏建和, 等. 白木香结香机制研究进展及其防御反应诱导结香假说[J]. 中草药, 2010, 41(1):156~159.
- Chen H Q, Yang Y, Xue J, et al. Comparison of compositions and antimicrobial activities of essential oils from chemically stimulated agarwood, wild agarwood and healthy *Aquilaria sinensis*(Lour.) Gilg trees[J]. Molecules, 2011, 16:4884~4896.
- Chen H Q, Wei J H, Yang J S, et al. Chemical constituents of agarwood originating from the endemic genus *Aquilaria* plants[J]. Chem Biodivers, 2012, 9(2):236~250.
- Regula Naef. The volatile and semi-volatile constituents of agarwood, the infected heartwood of *Aquilaria* species: A review[J]. Flavour Fragr J, 2011, 26:73~89.
- Laule O, Fürholz A, Chang H S, et al. Crosstalk between cytosolic and plastidial pathways of isoprenoid biosynthesis in *Arabidopsis thaliana*[J]. Proc Natl Acad Sci USA, 2003, 100:6866~6871.
- Dudareva N, Andersson S, Orlova I, et al. The nonmevalonate pathway supports both monoterpene and sesquiterpene formation in snapdragon flowers[J]. Proc Natl Acad Sci USA, 2005, 102:933~938.
- Schuhr C A, Radykewicz T, Sagner S, et al. Quantitative assessment of crosstalk between the two isoprenoid biosynthesis pathways in plants by NMR spectroscopy[J]. Phytochem Rev, 2003, 2:3~16.
- Xu Y H, Yang X, Wei J H, et al. Cloning and expression analysis of 3-hydroxy-3-methylglutaryl-coenzyme A reductase from *Aquilaria sinensis*(Lour.) Gilg[J]. Chin Herb Med, 2013, in press.
- Rohmer M, Knani Mh, Simonin P, et al. Isoprenoid biosynthesis in bacteria: a novel pathway for the early steps leading to isopentenyl diphosphate[J]. Biochem J, 1993, 295:517~524.
- Newman J D, Chappell J. Isoprenoid biosynthesis in plants: carbon partitioning within the cytoplasmic pathway[J]. Critical Reviews in Biochemistry and Molecular Biology, 1999, 34(2):11.
- Yu F, Utsumi R. Diversity, regulation, and genetic manipu-

- lation of plant mono- and sesquiterpenoid biosynthesis[J]. Cell Mol Life Sci 2009, 66: 3043–3052.
13. Stermer B A, Bostock B M. Involvement of 3-Hydroxy-3-Methylglutaryl Coenzyme A Reductase in the Regulation of Sesquiterpenoid Phytoalexin synthesis in Potato[J]. Plant Physiol, 1987, 84: 404–408.
14. Gil G, Goldstein J L, Slaughter C A, et al. Multiple genes encode nuclear factor 1-like proteins that bind to the promoter for 3-hydroxy-3-methylglutaryl coenzyme A reductase [J]. Proc Natl Acad Sci USA, 1988, 85: 8963–8967.
15. Mehrabian M, Callaway K A, Clarke C F, et al. Regulation of rat liver 3-hydroxy-3-methylglutaryl coenzyme A synthase and the chromosomal localization of the human gene[J]. J Biol Chem, 1986, 261: 16249–16255.
16. Montamat F, Guilloton M, Karst F, et al. Isolation and characterization of a cDNA encoding *Arabidopsis thaliana* 3-hydroxy-3-methylglutaryl-coenzyme A synthase[J]. Gene, 1995, 197: 197–201.
17. Wegener A, Gimbel W, Werner T, et al. Molecular cloning of ozone-inducible protein from *Pinus sylvestris* L. with high sequence similarity to vertebrate 3-hydroxy-3-methylglutaryl-coenzyme A synthase[J]. Biochimica et Biophysica Acta, 1997, 1350: 247–252.
18. Suwanmanee P, Sirinupong N, Suvachittanont W. Regulation of the expression of 3-hydroxy-3-methylglutaryl-CoA synthase gene in *Hevea brasiliensis*(B. H. K.) Mull Arg[J]. Plant Science, 2004, 166: 531–537.
19. Zhang L, Yan X M, Wang J, et al. Molecular cloning and expression analysis of a new putative gene encoding 3-hydroxy-3-methylglutaryl-CoA synthase from *Salvia miltiorrhiza*[J]. Acta Physiol Plant, 2011, 33(3): 953–961.
20. 陈林波, 刘本英, 汪云刚, 等. 茶树 *HMGS* 基因的克隆与序列分析[J]. 西北农业学报, 2013, 22(5): 72–76.
21. J·莎姆布鲁克. 分子克隆实验指南 第3版[M]. 北京: 科学出版社, 2005: 644–650.
22. Gao Z H, Wei J H, Yang Y, et al. Selection and validation of reference genes for studying stress-related agarwood formation of *Aquilaria sinensis*[J]. Plant Cell Rep, 2012, 31: 1759–1768.
23. <http://www.cites.org/> [accessed 7 August 2012]
24. Xu Y, Zhang Z, Wang M, et al. Identification of genes related to agarwood formation: transcriptome analysis of healthy and wounded tissues of *Aquilaria sinensis*[J]. BMC Genomics, 2013, 14: 227.
25. Liu Y Y, Chen H Q, Yang Y, et al. Whole-tree Agarwood-inducing Technique: An Efficient Novel Technique for Producing High-Quality Agarwood in Cultivated *Aquilaria sinensis* Trees[J]. Molecules, 2013, 18: 3086–3106.
26. Zhang X L, Liu Y Y, Wei J H, et al. Production of high-quality agarwood in *Aquilaria sinensis* trees via whole-tree agarwood-induction technology[J]. Chinese Chemical Letters, 2012, 23(6): 727.
27. 徐艳红, 杨欣, 张争, 等. 白木香 3-羟基-3-甲基戊二酰辅酶 A 还原酶基因 *AsHMGR2* 的克隆及表达分析[J]. 药学学报, 2013, 48(6): 953–959.
28. Chen D H, Ye H C, Li G F, et al. Advances in molecular biology of plant isoprenoid metabolic pathway[J]. Acta Bot Sin, 2000, 42: 551–558.